

اتصال غیرمشابه فلز/پلیمر با روش جوشکاری اصطکاکی اغتشاشی نقطه‌ای*

مهرداد محمودی^(۱) بهروز بیدختی^(۲) سمانه صاحبیان سقی^(۳)

چکیده

در اتصال ورق‌های آلومینیم و پلی‌اتیلن با روش جوشکاری اصطکاکی اغتشاشی نقطه‌ای، عوامل مختلفی بر استحکام اتصالات تأثیرگذار است که در این پژوهش، اثر شرایط سطحی و زمان ماندگاری ابزار بررسی شد. نتایج نشان‌دهنده افزایش نیروی شکست کشش برشی با طولانی شدن زمان ماندگاری ابزار بود که این امر ناشی از گرمای اصطکاکی بیشتر، حجم بیشتر مذاب پلی‌اتیلن و در نتیجه افزایش سطح چسبندگی آلومینیم با مذاب پلیمر است. استفاده از سنبه‌ای که خراش‌های بیشتر با اندازه‌های کوچک‌تر به صورت نقطه‌ای ایجاد کرد، استحکام را به میزان بیشتری افزایش داد، به گونه‌ای که بیشترین نیروی برشی اتصالات در حدود 785 N به دست آمد. همچنین با استفاده از مطالعات میکروسکوپی و میکروسکوپی، مشخص شد که مکانیزم‌های اصلی اتصال‌دهی ایجاد قفل مکانیکی بین ورق‌ها با ابزار و سنبه‌ها و نیز چسبندگی مذاب پلی‌اتیلن به سطح آلومینیم است.

واژه‌های کلیدی: جوشکاری اصطکاکی اغتشاشی، آلومینیم، پلی‌اتیلن، اتصال.

Dissimilar Joining of Metal/Polymer Using Friction Stir Spot Welding Method

M. Mahmoudi B. Beidokhti S. Sahebian Saghi

Abstract

In the joining of aluminum and polyethylene sheets with friction stir spot welding method, various factors affect the strength of joints. In this study, the effect of surface conditions and the dwell time of tool have been investigated. The results indicated the increased shear tension load with the prolonged dwell time due to the higher frictional heating, more molten polyethylene formation and an increased adhesion area. The use of mandrill that created more scratches with smaller dimensions was more effective to increase the strength. The highest shear tension load of joints was 785 N. Macroscopic and microscopic studies revealed that the mechanical interlocking and adhesion of molten polyethylene on the aluminum surface were the main joining mechanisms.

Key Words Friction stir welding, Aluminum, Polyethylene, Joining.

* تاریخ دریافت مقاله ۹۷/۶/۱۱ و تاریخ پذیرش آن ۹۹/۲/۲۲ می‌باشد.

(۱) دانشجوی کارشناسی ارشد، گروه مهندسی مواد و متالورژی، دانشکده مهندسی، دانشگاه فردوسی مشهد.

Email: beidokhti@um.ac.ir

(۲) نویسنده مسئول، دانشیار، گروه مهندسی مواد و متالورژی، دانشکده مهندسی، دانشگاه فردوسی مشهد.

(۳) استادیار، گروه مهندسی مواد و متالورژی، دانشکده مهندسی، دانشگاه فردوسی مشهد.

مقدمه

اتصال با افزایش سرعت چرخشی ابزار، به دلیل کاهش سطح ذوب‌نشده در قسمت میانی سوراخ و افزایش سطح تحمل‌کننده نیروست. آن‌ها همچنین مکانیزم‌های اصلی اتصال را ایجاد قفل مکانیکی بین پلیمر منجمد شده و رزوه‌های موجود در سوراخ و نیز تشکیل لایه واکنشی در بین آن‌ها معرفی کردند.

بالاکریشنان و همکارانش [10]، با استفاده از جوشکاری اصطکاکی اغتشاشی نقطه‌ای (FSSW)، ورق‌های آلایژ آلومینیم و نایلون را به یکدیگر متصل کردند. آن‌ها با مقایسه اتصالات ایجاد شده این روش و اتصالات ایجاد شده از طریق چسب، برتری روش FSSW را اثبات کردند. آن‌ها مکانیزم اتصال را چسبندگی مذاب نایلون به سطح زیرین آلومینیم و همچنین تشکیل قفل مکانیکی بین ورق‌ها به دلیل تغییر شکل ایجاد شده بر روی آلومینیم به وسیله ابزار عنوان کردند. یوسف و همکارانش [11]، تأثیر عمق و نرخ فروروی را بر اتصالات آلایژ آلومینیم به پلی‌اتیلن ترفتالات (PET) بررسی کردند و به این نتیجه رسیدند که با کاهش نرخ فروروی و افزایش عمق فروروی، در منطقه تحت تأثیر حرارت بزرگ‌تری ایجاد شد و در اطراف منطقه تماس ابزار حباب‌های کمتر با اندازه‌های کوچک‌تر شکل گرفت.

در این پژوهش، از فرایند جوشکاری اصطکاکی اغتشاشی نقطه‌ای (FSSW)، برای ایجاد اتصال بین ورق‌های آلومینیم و پلی‌اتیلن دانسیته بالا (HDPE) بهره گرفته شد و بعد از ایجاد اتصال بین ورق‌ها، مکانیزم‌های اتصال و همچنین تأثیر شرایط سطحی و زمان ماندگاری ابزار بر رفتار مکانیکی اتصال مطالعه شد.

روش پژوهش

در این پژوهش از ورق‌های آلومینیم ۱۱۲۰ و پلی‌اتیلن دانسیته بالا (HDPE) به ترتیب به عنوان بخش فلزی و پلیمری اتصال با ضخامت‌های ۲mm استفاده شد. ترکیب شیمیایی آلایژ آلومینیم در جدول ۱ آمده است. نتایج کوانتومتری با آلایژ آلومینیم ۱۱۲۰ هم‌خوانی دارد. مشخصات پلی‌اتیلن دانسیته

با وجود استفاده گسترده از روش‌های سنتی مانند اتصال با چسب و اتصال مکانیکی برای اتصال «نقطه‌ای» فلز به پلیمر، این روش‌ها دارای نقاط ضعفی هستند. اتصال مکانیکی باعث افزایش وزن و ایجاد نقاط تمرکز تنش در سازه می‌شود، هرچند به تازگی گزارش شده است که اتصالات هیبریدی می‌توانند استحکام مناسبی نشان دهند [1]. نیاز به آماده‌سازی سطح و زمان طولانی ایجاد اتصال نیز از جمله معایب اتصال چسبی است [2-4]. در نتیجه، در سال‌های گذشته روش‌های جدیدی برای اتصال نقطه‌ای پلیمرها به آلایژهای فلزی توسعه یافته‌اند. یکی از این روش‌ها، جوشکاری اصطکاکی اغتشاشی نقطه‌ای (FSSW) است که به صورت‌های مختلفی از آن استفاده می‌کنند [5-7].

گوشه‌گیر و همکارانش [4]، از فرایند جوشکاری اصطکاکی اغتشاشی نقطه‌ای با پرکردن مجدد (FSpJ) برای اتصال آلومینیم AA2024 به پلی‌فنیلن سولفید تقویت شده با 50 درصد حجمی فیبر کربن (PPS-CF) استفاده کردند. آن‌ها به این نتیجه رسیدند که با افزایش عمق نفوذ ابزار در محل اتصال، نیروی برشی لازم برای شکست و مقدار جابه‌جایی تا شکست به دلیل افزایش سطح اتصال در فصل مشترک، افزایش می‌یابد. استیوس و همکارانش [8]، آلایژ آلومینیم AA6181-T4 و کامپوزیت زمینه پلی‌فنیلن سولفید تقویت شده با الیاف کربن (CF-PPS) را از طریق فرایند FSpJ به یکدیگر متصل کردند. نتایج به دست آمده از پژوهش آن‌ها نشان داد که سرعت چرخشی ابزار بیشترین تأثیر را بر نیروی شکست جوش‌ها دارد. علاوه بر این، افزایش استحکام با افزایش سطح اتصال بین آلومینیم و پلیمر و همچنین تشکیل قفل مکانیکی ماکروسکوپی در فصل مشترک ورق‌های پایه ارتباط داده شد. کرمی پابندی و همکارانش [9]، از یک فرایند جدید با عنوان جوشکاری اصطکاکی اغتشاشی نقطه‌ای با سوراخ رزوه‌دار برای اتصال ورق‌های آلومینیم و پلی‌پروپیلن تقویت شده با الیاف کوتاه کربن (PP-SCF) استفاده کردند. نتایج آن‌ها نشان‌دهنده افزایش استحکام و انرژی شکست

۵۰mm روی ورق پلی اتیلن گذاشته شد و فرایند جوشکاری در مدت های ۵، ۱۰ و ۱۵ ثانیه انجام شد. در این پژوهش، دیگر پارامترهای فرایند از قبیل سرعت چرخشی ابزار ۲۵۰۰rpm، نرخ فروروی ابزار ۱۰۰mm/min و عمق فروروی ابزار ۳/۲mm ثابت در نظر گرفته شدند. لازم به ذکر است از ابزاری به شکل مخروطی با مشخصات قطر شانه ۱۵mm، قطرهای ته پین ۴mm و نوک آن ۲mm، ارتفاع پین ۳/۲mm و زاویه تقعر ابزار حدود ۳۰° استفاده شد. شرایط جوشکاری در جدول ۳ خلاصه شده است.

بالا نیز در جدول ۲ شرح داده شده است. برای انجام جوشکاری، ورق های آلومینیم و پلی اتیلن در اندازه های ۱۰۰×۵۰mm با استفاده از گیوتین برش داده شدند. برای بررسی اثر شرایط سطحی بر استحکام کشش برشی نمونه های جوش داده شده، با استفاده از ۲ سنبه با شکل های مختلف به قطر ۱۸mm خراش هایی با عمق متوسط ۰/۲mm روی سطح آلومینیم با هدف افزایش زبری سطح ایجاد شد. در ادامه قبل از انجام جوشکاری، سطح آلومینیم با استفاده از سنباده تمیز شد. سپس ورق آلومینیم به اندازه

جدول ۱ ترکیب شیمیایی آلیاژ آلومینیم ۱۱۲۰ استفاده شده در این پژوهش (برحسب درصد وزنی)

Tb	Ti	Ni	Zn	Cr	Mn	Mg	Cu	Fe	Al
۰/۰۰۵	۰/۰۲۷	۰/۰۰۹	۰/۰۰۷	۰/۰۰۵	۰/۰۰۸	۰/۰۱۹	۰/۰۴۰	۰/۰۵۳۱	۹۹/۲۲۰
-----	V	Bi	B	Sb	Ga	Co	Ca	Ag	Si
-----	۰/۰۱۶	۰/۰۰۴	۰/۰۰۳	۰/۰۰۳	۰/۰۰۵	۰/۰۰۶	۰/۰۰۲	۰/۰۰۱	۰/۰۹۱

جدول ۲ مشخصات پلی اتیلن دانسیته بالا (HDPE)

ظرفیت گرمایی ویژه (J/(gr.K))	هدایت حرارتی (W/(m.K))	دانسیته (gr/cm ³)
۲/۷ تا ۱/۸	۰/۳۳ تا ۰/۵۳	۰/۹۶ تا ۰/۹۴
دمای تجزیه حرارتی (°C)	مدول یانگ (MPa)	ضریب انبساط حرارتی خطی (10 ⁻⁶ /K)
۴۹۸ تا ۴۸۷	۱۴۰۰ تا ۶۰۰	۲۵۰ تا ۲۰۰
دمای انتقال شیشه ای (°C)	دمای نوب (°C)	آنتالپی ذوب (J/gr)
-۱۰۰	۱۳۵ تا ۱۲۵	۲۹۳

جدول ۳ شرایط جوشکاری اصطکاکی اغتشاشی نقطه ای

شرایط سطحی	سطح صاف S0	خراش با سنبه S1 ^۱	خراش با سنبه S2 ^۲
سرعت چرخشی (rpm)	۲۵۰۰	۲۵۰۰	۲۵۰۰
عمق فروروی (mm)	۳/۲	۳/۲	۳/۲
نرخ فروروی (mm/min)	۱۰۰	۱۰۰	۱۰۰
زمان ماندگاری (s)	۵-۱۰-۱۵	۵-۱۰-۱۵	۵-۱۰-۱۵

پلی اتیلن حاصل نشد. از این رو، برای انجام جوشکاری، آلومینیم روی پلی اتیلن گذاشته شد و فرایند جوشکاری انجام شد. در این حالت به دلیل بالا بودن ضریب هدایت حرارتی آلومینیم، گرما از طریق ضخامت ورق به پلی اتیلن منتقل و موجب ذوب سطحی آن شد. با پایان یافتن فرایند جوشکاری و بیرون آمدن ابزار، مذاب پلی اتیلنی که با آلومینیم در تماس است (پدیده ترشوندگی)، تحت فشار گیره‌های نگهدارنده در دمای محیط منجمد و به این ترتیب بین ورق‌ها اتصال ایجاد می‌شود. در شکل ۱ به عنوان نمونه نمای پشت جوش‌های با سطح صاف نشان داده شده است که سطح ترشوندگی آلومینیم به وسیله مذاب پلی اتیلن به شکل‌های یک دایره با قطرهای مختلف است. مقایسه سطح ترشوندگی در شرایط سطحی و زمان‌های مختلف نشان داد که با تغییر شرایط سطحی میزان ترشوندگی به صورت چشمگیری تغییر نمی‌کند. با طولانی‌تر شدن زمان ماندگاری، سطح ترشوندگی آلومینیم به وسیله مذاب پلی اتیلن افزایش می‌یابد که دلیل آن ایجاد گرمای اصطکاکی بیشتر و در نهایت تولید حجم مذاب بالاتر در زمان‌های طولانی‌تر است. دماهای اندازه‌گیری شده در طول فرایند نیز این قضیه را نشان می‌دهد که با تغییر شرایط سطحی تغییرات دمایی چشمگیری به وجود نیامد. با اختلافی حدود ۳ تا ۴ درجه سانتی‌گراد، دماهای به دست آمده از نمونه‌ها با هم قابل مقایسه است. با ازدیاد زمان ماندگاری، دما نیز افزایش یافت. از آنجایی که ضریب هدایت حرارتی آلومینیم در مقایسه با پلی اتیلن خیلی بیشتر است، دما در طرف آلومینیم بیشتر افزایش پیدا می‌کند.

در تماس بودن آلومینیم با پلی اتیلن و انتقال حرارت از طریق آن نیز باعث افزایش دمای پلی اتیلن می‌شود.

در زمان‌های زیاد، حجم مذاب پلیمر بیشتر با دماهای بالاتری ایجاد می‌شود و چسبندگی پلیمر به فلز افزایش می‌یابد. حداکثر دمای اندازه‌گیری شده در فرایند، مربوط به نمونه‌هایی بود که در بیشترین زمان ماندگاری (۱۵ ثانیه) قرار گرفتند که نمودار آن در شکل ۲ آمده است.

برای اندازه‌گیری دما از ترموکوپل‌های نوع K در مناطق مختلف نمونه استفاده شد. بدین منظور ۳ ترموکوپل در مرکز جوش، در طرف آلومینیم با فاصله ۱۲mm از مرکز جوش و در طرف پلی اتیلن با فاصله ۱۲mm از مرکز جوش قرار گرفت. باتوجه به نحوه قرارگیری ورق‌ها به صورت لبه‌روی هم، ترموکوپل طرف پلی اتیلن و مرکز جوش از سمت پشت و ترموکوپل طرف آلومینیم از سمت رو نصب شد.

برای ارزیابی رفتار مکانیکی نمونه‌های اتصال داده‌شده، آزمون کشش برشی به صورت بهینه‌شده شرایط استاندارد DIN EN ISO ۱۴۲۷۳ انجام شد. به منظور آماده‌سازی نمونه‌ها برای آزمون کشش، ۲ طرف ورق‌هایی با ابعاد ۱۰۰×۵۰mm لقمه‌هایی با ضخامت ۲mm چسبانده شد تا قسمت‌هایی که در داخل فک دستگاه قرار می‌گیرند، مانند قسمت هم‌پوشانی ضخامت ۴mm داشته باشد. نرخ حرکت فک‌های دستگاه ۰/۵mm/min انتخاب و از هر حالت برای کاهش خطای آزمایش ۳ نمونه کشیده شد. میانگین حداکثر نیروی شکست این ۳ نمونه به عنوان نیروی کشش برشی گزارش شد. همچنین برای تهیه نمونه‌های متالوگرافی، نمونه‌های جوش داده‌شده با استفاده از دستگاه برش با آب (Waterjet) در اندازه‌های معین برش داده شدند. مزیت استفاده از این روش انجام فرایند برشکاری به صورت سرد و ایجاد نشدن تنش حرارتی در ماده است. سپس نمونه‌ها مانند سرد شدند و با استفاده از سنباده و نمد آغشته به ذرات آلومینای ۰/۰۵ μm صیقل‌کاری شدند. بررسی فصل مشترک اتصال با استفاده از میکروسکوپ الکترونی روبشی (SEM) انجام شد.

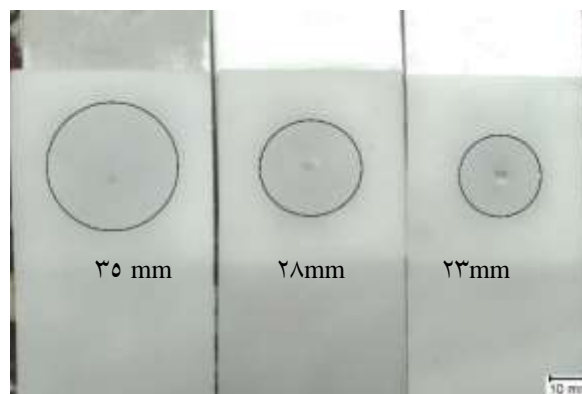
نتایج و بحث

سطح مقطع اتصال

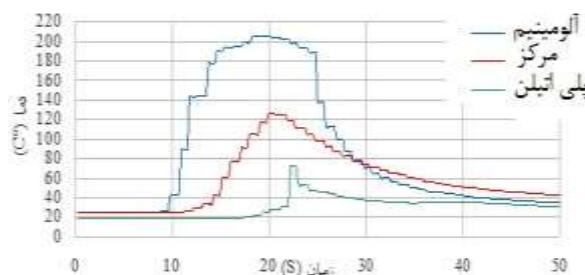
در مرحله ابتدایی این پژوهش تلاش شد با قراردادن پلی اتیلن بر روی آلومینیم جوشکاری انجام شود، اما باتوجه به پایین بودن ضریب هدایت حرارتی پلی اتیلن، گرمای لازم از طریق ضخامت ورق نتوانست به آلومینیم منتقل و باعث نرم شدن آن شود. در نتیجه اتصالی بین ورق‌های آلومینیم و

تغییر شکل یافته، قفل مکانیکی ایجاد می‌شود [11]. ایجاد قفل مکانیکی در فصل مشترک اتصال توسط پاتل و همکارانش [14] نیز گزارش شده است. همچنین خراش‌های ایجاد شده سنبه‌ها بر روی سطح آلومینیم نیز به‌عنوان قفل مکانیکی عمل می‌کند و مذاب پلی‌اتیلن در این محل‌ها می‌تواند به دام بیفتد و منجمد شود. در واقع یک حالت نر و مادگی بین آلومینیم و پلی‌اتیلن ایجاد می‌شود و به این ترتیب ۲ ماده به یکدیگر متصل می‌شوند. بنابراین، مکانیزم اتصال شامل ترشوندگی سطح آلومینیم به وسیله مذاب پلی‌اتیلن و تشکیل مراکز قفل مکانیکی به وسیله ابزار و سنبه‌هاست. شکل ۳ تصاویر برآمدگی و خراش‌های ایجاد شده سنبه‌ها به‌عنوان قفل مکانیکی بر روی آلومینیم و همچنین اثر آن‌ها بر روی پلی‌اتیلن بعد از منجمد شدن را نشان می‌دهد.

سنبه ۲ خراش‌های بیشتر با اندازه‌های کوچک‌تر به‌صورت نقطه‌ای و سنبه ۱ خراش‌های کمتر با اندازه‌های بزرگ‌تر به‌صورت طولی در جهت عرض ورق ایجاد می‌کند. ایجاد قفل مکانیکی همراه با چسبندگی مناسب نقش مهمی در افزایش استحکام اتصالات هیبریدی فلز-پلیمر دارد [15]. تصاویر SEM گرفته شده از نمونه‌ها، چسبندگی مطلوب در فصل مشترک آلومینیم و پلی‌اتیلن را نشان می‌دهد (شکل ۴-الف). یکی از مشکلات جوشکاری فلزات و پلیمرها تفاوت زیاد در ضریب انبساط حرارتی آن‌هاست که سبب ایجاد شکاف در فصل مشترک بین مواد می‌شود. در این پژوهش، با منجمد شدن پلی‌اتیلن در دمای محیط، فشار گیره‌های نگهدارنده مانع از جدایش پلی‌اتیلن از سطح آلومینیم و ایجاد شکاف بین آن‌ها شد؛ در نتیجه اختلاف ضریب انبساط حرارتی مواد به‌صورت تنش‌های حرارتی در ماده باقی ماند. تصاویر SEM به‌دست آمده از نمونه‌هایی که با سنبه بر روی آن‌ها خراش ایجاد شده است نیز نشان می‌دهد که مذاب پلی‌اتیلن به‌صورت کامل خراش‌ها را پر کرده است و چسبندگی مطلوبی با دیواره‌های آلومینیمی آن دارد که این خراش‌ها به‌عنوان مراکز قفل مکانیکی عمل می‌کنند (شکل ۴-ب). بنابراین، با وجود مشاهده نواحی کوچک عدم اتصال، باز هم استحکام و نیروی تحمل‌پذیر این نمونه‌ها بیشتر از



شکل ۱ مقایسه سطح ترشوندگی آلومینیم به وسیله مذاب پلی‌اتیلن در شرایط سطحی یکسان صاف با زمان‌های (الف) ۵ ثانیه، (ب) ۱۰ ثانیه و (ج) ۱۵ ثانیه

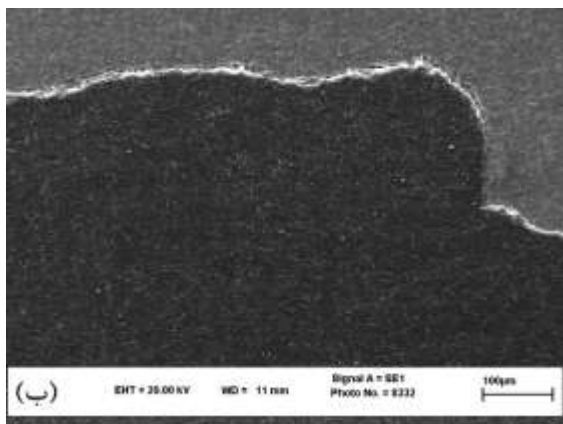


شکل ۲ نمودار دماهای اندازه‌گیری شده در فرایند در زمان ۱۵ ثانیه

مکانیزم‌های اتصال

عموماً در اتصال فلز-پلیمر به‌روش FSSW، مکانیزم اتصال چسبندگی و ترشوندگی سطح فلز به وسیله مذاب پلیمر و همچنین قفل‌شدگی مکانیکی است [11,12]. البته ممکن است لایه‌ای واکنشی در بین پلیمر و فلز که اتم‌های هر ۲ ماده در آن حضور داشته باشد نیز به‌وجود آید [10] یا تجزیه پلیمر در نزدیکی سطح اتصال رخ دهد [13]. در این پژوهش، درباره اتصال آلومینیم به پلی‌اتیلن گرمای اصطکاکی تولید شده در فصل مشترک ابزار چرخشی و سطح آلومینیم از طریق ضخامت ورق به پلی‌اتیلن منتقل می‌شود و باعث ذوب موضعی آن در اطراف منطقه تماس ابزار و مناطق در تماس با سطح آلومینیم می‌شود. همان‌طور که پلی‌اتیلن ذوب می‌شود، برآمدگی در سطح پایین آلومینیم به‌شکل پین ابزار شکل می‌گیرد و با منجمد شدن پلی‌اتیلن اطراف این آلومینیم

نمونه با سطح صاف بود.

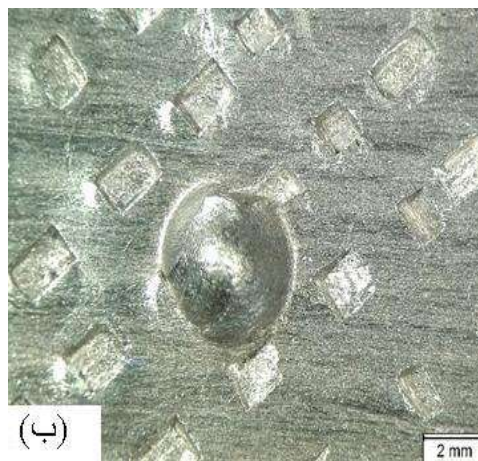


شکل ۴ (الف) تصویر SEM از سطح مقطع اتصال: (الف) نمونه جوشکاری شده با سطح صاف، (ب) نمونه جوشکاری شده با سنبه شماره ۲

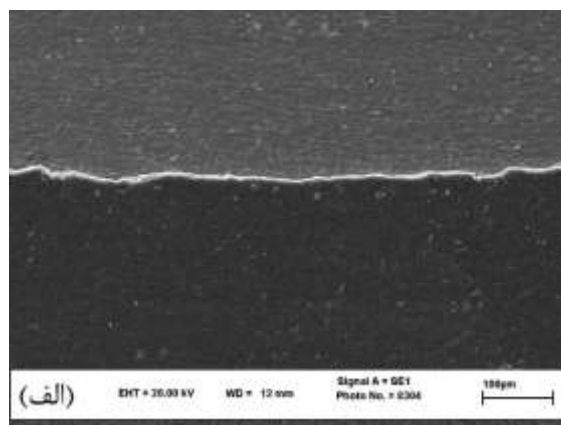
نتایج آزمون کشش برشی

شکل ۵ میانگین نیروی کشش برشی نمونه‌ها در شرایط مختلف را نشان می‌دهد. مقایسه نتایج مربوط به نمونه‌های تحت شرایط سطحی مختلف، اثر مثبت ایجاد خراش بر روی آلومینیم به وسیله سنبه‌ها را تأیید می‌کند، زیرا سبب افزایش استحکام شده است. سنبه ۲ در مقایسه با سنبه ۱ استحکام را به مقدار بیشتری افزایش داد، زیرا خراش‌های بیشتر با اندازه‌های کوچک‌تر به صورت نقطه‌ای ایجاد کرد.

سنبه ۱ نیز با ایجاد خراش‌های کمتر با اندازه‌های بزرگ‌تر به صورت طولی، استحکام بالاتری نسبت به سطح صاف از خود نشان داد. بنابراین، در یک زمان ثابت استفاده از سنبه ۲ برای ایجاد خراش توصیه می‌شود. مقایسه استحکام نمونه‌ها در شرایط سطحی یکسان با زمان‌های مختلف نیز نشان می‌دهد که با زیاد شدن زمان ماندگاری، استحکام نیز افزایش می‌یابد. علت افزایش سطح ترشوندگی فلز به وسیله مذاب پلیمر به دلیل افزایش گرمای اصطکاکی ایجاد شده است. ضمن اینکه زمان‌های طولانی‌تر، مذاب با دمای بالاتری ایجاد می‌کند و چسبندگی محکم‌تری بین مواد تشکیل می‌دهد. کیمورا و همکارانش [16] نیز نشان داده‌اند که عملیات سطحی می‌تواند استحکام اتصالات فلز-پلیمر را بهبود بخشد.



شکل ۳ برآمدگی ناشی از آلومینیم تغییر شکل یافته به وسیله ابزار و خراش‌های ایجاد شده به وسیله: (الف) سنبه ۱، (ب) سنبه ۲



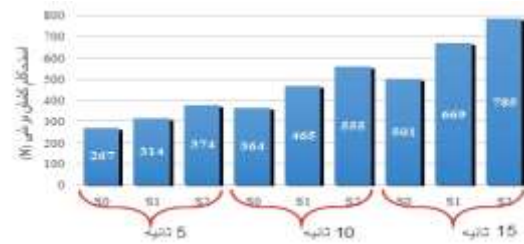
نقطه‌ای برای اتصال ورق‌های آلومینیم و پلی اتیلن استفاده شد و با ارزیابی خواص مکانیکی و فصل مشترک اتصالات، نتایج زیر به دست آمد:

۱. مکانیزم‌های اصلی اتصال در این روش، ایجاد قفل مکانیکی بین ورق‌ها به وسیله ابزار و سنبه‌ها و نیز چسبندگی مذاب پلی اتیلن به سطح آلومینیم است؛

۲. با افزایش زمان ماندگاری به دلیل ایجاد گرمای اصطکاکی بیشتر، مذاب پلی اتیلن زیاده‌تر و با دمای بالاتری ایجاد شد و به تبع آن ترشوندگی و چسبندگی سطح آلومینیم افزایش یافت؛

۳. استفاده از سنبه‌ها بای ایجاد خراش موجب افزایش استحکام شد. سنبه ۲ در مقایسه با سنبه ۱ به دلیل ایجاد خراش‌های بیشتر با اندازه‌های کوچک‌تر، نیروی شکست را به میزان بیشتری افزایش داد. بیشترین مقدار نیرو برابر ۷۸۵ N در ۱۵ ثانیه با خراش ایجادشده به وسیله سنبه ۲ به دست آمد؛

۴. تصاویر SEM گرفته شده از نمونه‌ها، چسبندگی مطلوبی را در سراسر منطقه اتصال و در داخل خراش‌های ایجادشده نشان داد.



شکل ۵ میانگین استحکام کشش برشی نمونه‌های جوشکاری شده در شرایط مختلف (S0: سطح صاف، S1: خراش ایجادشده با سنبه ۱ و S2: خراش ایجادشده با سنبه ۲)

نکته شایان توجه این است که نمونه ۱۰-S0 در مقایسه با نمونه ۵-S1 نیروی بیشتری و در مقایسه با نمونه ۵-S2 نیروی کمتری را تحمل کرده است. به نظر می‌رسد افزایش سطح ترشوندگی و ایجاد مذاب با دمای بالاتر بر قفل مکانیکی ایجادشده به وسیله سنبه ۱ غلبه کرده و باعث افزایش استحکام شده است، زیرا چنین شرایطی در نمونه ۱۵-S0 نیز مشاهده می‌شود که نسبت به نمونه ۱۰-S1 تحت نیروی بیشتر اما نسبت به نمونه ۱۰-S2 بر اثر نیروی کمتری شکسته است.

نتیجه‌گیری

در این پژوهش از فرایند جوشکاری اصطکاکی اغتشاشی

مراجع

- Liu, Y., Zhuang W., "Self-piercing riveted-bonded hybrid joining of carbon fibre reinforced polymers and aluminium alloy sheets", *Thin-Walled Structures*, Vol. 144, Article 106340, (2019).
- Khodabakhshi, F., Haghshenas, M., Sahraeinejad, S., Chen, J., Shalchi, B., Li, J., and Gerlich, A. P., "Microstructure-property characterization of a friction-stir welded joint between AA5059 aluminum alloy and high density polyethylene", *Materials Characterization*, Vol. 98, pp. 73-82, (2014).
- Abibe, A. B., Sônego, M., Dos Santos, J. F., Canto, L. B., and Amancio-Filho, S. T., "On the feasibility of a friction-based staking joining method for polymer-metal hybrid structures", *Materials & Design*, Vol. 92, pp. 632-642, (2016).
- Goushegir, S. M., Dos Santos, J. F., and Amancio-Filho, S. T., "Friction spot joining of aluminum AA2024/carbon-fiber reinforced poly (phenylene sulfide) composite single lap joints: microstructure and mechanical performance", *Materials & Design*, Vol. 54, pp. 196-206, (2014).

5. Mishra, R. S., Mahoney, M. W., Sato, Y., Hovanski, Y., and Verma, R., "Friction Stir Welding and Processing VII", John Wiley & Sons, NJ, (2013).
6. Pan, T. Y., "Friction Stir Spot Welding (FSSW)-A Literature Review (No. 2007-01-1702)", SAE Technical Paper, Pennsylvania, (2007).
7. Yuan, W., "Friction stir spot welding of aluminum alloys", Missouri University of Science and Technology Pub., Missouri, (2008).
8. Esteves, J. V., Goushegir, S. M., Dos Santos, J. F., Canto, L. B., Hage, E., and Amancio-Filho, S. T., "Friction spot joining of aluminum AA6181-T4 and carbon fiber-reinforced poly (phenylene sulfide): effects of process parameters on the microstructure and mechanical strength", *Materials & Design*, Vol. 66, pp. 437-445, (2015).
9. Pabandi, H. K., Movahedi, M., and Kokabi, A. H., "new refill friction spot welding process for aluminum/polymer composite hybrid structures", *Composite Structures*, Vol. 174, pp. 59-69, (2017).
10. Balakrishnan, K. N., Kang, H. T., and Mallick, P. K., "Joining aluminum to nylon using frictional heat (No. 2007-01-1701)", SAE Technical Paper, Pennsylvania, (2007).
11. Yusof, F., Miyashita, Y., Seo, N., Mutoh, Y., and Moshwan, R., "Utilising friction spot joining for dissimilar joint between aluminium alloy (A5052) and polyethylene terephthalate", *Science and Technology of Welding and Joining*, Vol. 17(7), pp. 544-549, (2012).
12. ASM International, ASM International. Handbook Committee, & ASM International. Alloy Phase Diagram Committee, "Metals Handbook: Properties and selection-Vol. 2", ASM International, Ohio, (1990).
13. Kadoya, S., Kimura, F., and Kajihara, Y., "PBT-anodized aluminum alloy direct joining: Characteristic injection speed dependence of injected polymer replicated into nanostructures", *Polymer Testing*, Vol. 75, pp. 127-132, (2019).
14. Patel, A. R., Kotadiya, D. J., Kapopara, J. M., Dlawadi, C. G., Patel, N. P., and Rana, H. G., "Investigation of Mechanical Properties for Hybrid Joint of Aluminium to Polymer using Friction Stir Welding (FSW)", *Materials Today: Proceedings*, Vol. 5, pp. 4242-4249, (2018).
15. Meng, X., Huang, Y., Xie, Y., Li, J., Guan, M., Wan, L., Dong, Z., Cao, J., "Friction self-riveting welding between polymer matrix composites and metals", *Composites Part A*, Vol. 127, Article 105624, (2019).
16. Kimura, F., Yamaguchi, E., Hurie, N., Suzuki, G., and Kajihara, Y., "Formation of boehmite crystals on microblasted aluminum surface to enhance performance of metal-polymer direct joining", *Materials Letters*, Article 126963, (2019).